

УДК 548.0 : 537

© 1991

## ЭЛЕКТРОННАЯ СТРУКТУРА $\text{Cr}^{4+}$ -ЦЕНТРА В ИТТРИЙ-АЛЮМИНИЕВОМ ГРАНАТЕ

*А. Б. Соболев, И. Ф. Бикметов, В. А. Лобач, А. И. Мит'ковец,  
А. А. Ставров, А. П. Шкадаревич*

На основе сопоставления рассчитанных в приближении внедренного кластера величин расщепления 3d-состояний ионов хрома и экспериментальных данных получено дополнительное подтверждение существования тетраэдрического  $\text{Cr}^{4+}$ -центра в иттрий-алюминиевом гранате. Расчеты указывают на деформацию кристалла в окрестности центров и стабильность тетраэдрического  $\text{Cr}^{4+}$ -центра при наличии зарядового компенсатора  $\text{Ca}^{2+}$ .

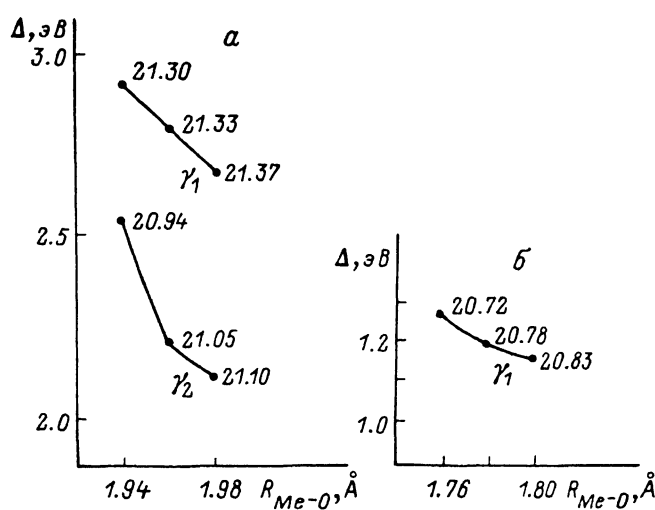
В иттрий-алюминиевом гранате (ИАГ)  $\text{Y}_3\text{Al}_5\text{O}_{12}$  детально исследованы центры окраски, связанные с замещением регулярных ионов Al в октаэдрическом (по кислороду) окружении примесными  $\text{Cr}^{3+}$  и  $\text{Cr}^{4+}$ . Недавно появились сообщения о существовании в этом кристалле еще одного центра, интерпретируемого в виде примесного  $\text{Cr}^{4+}$  в тетраэдрическом окружении [1, 2]. В спектре поглощения этого центра в отличие от его аналога  $\text{Cr}^{4+}$  в октаэдрическом окружении [3] наблюдается интенсивное поглощение в области 1.10 эВ [1, 2, 4]. Такие полосы возникают в ИАГ, активированном хромом с добавками Ca или Mg, независимо от того, были предварительно образцы подвергнуты  $\gamma$ -облучению [3] или нет [2]. Они одновременно исчезают при  $T=500$  К и поэтому приписываются одному центру [4]. Интерпретация экспериментальных данных на основе полуэмпирической теории кристаллического поля (без учета деформации кристалла в окрестности  $\text{Cr}^{4+}$  и реальной точечной симметрии центра) приводит к предположению о значительной ковалентности в тетраэдрическом  $\text{Cr}^{4+}$ -центре [4] и, следовательно, требует дальнейшего уточнения его модели.

Цель данной работы состояла в дополнительном подтверждении существования тетраэдрического  $\text{Cr}^{4+}$ -центра и выяснении его особенностей по сравнению с другими  $\text{Cr}^{n+}$ -центрами ( $n=3, 4$ ) в ИАГ на основе расчетов его электронной структуры в приближении внедренного кластера (ВКП) [5], модифицированном на случай кристаллов сложной структуры [6]. Для этого при различных наборах параметров были выполнены расчеты кластеров, моделирующих  $\text{Cr}^{n+}$ -центры в октаэдрической и тетраэдрической координациях, а также  $\text{Cr}^{4+}$ -центр при наличии  $\text{Ca}^{2+}$  в ближайшем окружении (в позиции одного из регулярных ионов  $\text{Y}^{3+}$ ).

Поскольку в теории спектров ионов с незаполненной d-оболочкой основным параметром считается энергия расщепления d-состояний кристаллическим полем  $\Delta=10D_g$  [7], то именно эту величину, равную разности энергий 3d-орбиталей  $\Delta=E(t_{2g})-E(e_g)$ , мы выбрали в качестве той характеристики, которая различает разные  $\text{Cr}^{n+}$ -центры в ИАГ. Так же как и в [3], мы использовали приближение кубического поля (за исключением случая  $\text{Cr}^{4+}$ ,  $\text{Ca}^{2+}$ -центра). Вместе с тем наши расчеты, конечно, дают весь спектр кластера, включая переходы с переносом заряда [8]. Однако в соответствии с целью настоящего сообщения мы ограничиваемся лишь обсуждением величины  $\Delta$ , экспериментальные значения которой для всех рассматриваемых здесь центров предполагаются надежно установленными (см. таблицу).

Центр (кластер)	$R_{\text{Me}-\text{O}}$ , Å	$\gamma$	$\Delta, \text{эВ}$	
			расчет	экспер.
Cr <sup>3+</sup> -октаэдр ( $[\text{CrO}_6]^{9-}$ )	1.98	1.40	2.13	2.11 [9]
Cr <sup>4+</sup> -октаэдр ( $[\text{CrO}_6]^{8-}$ )	1.94	1.40	2.49	2.43—2.58 [4]
Cr <sup>3+</sup> -тетраэдр ( $[\text{CrO}_4]^{5-}$ )	1.80	1.25	0.79	Нет данных
Cr <sup>4+</sup> -тетраэдр ( $[\text{CrO}_4]^{4-}$ )	1.79	1.25	1.19	1.10 [1]
Cr <sup>4+</sup> , Ca <sup>2+</sup> -тетраэдр ( $[\text{CrYCaO}_4]^{1+}$ )	1.79	1.25	1.14	

Наша версия ВКП основана на формализме многократного рассеяния с «muffin-tin» (МТ)-приближением к потенциалу кластера, который в свою очередь складывается из потенциала молекулярного кластера в области



Зависимость величины расщепления 3d-состояний хрома  $\Delta$  (спин вверх) от расстояния хром—кислород в октаэдрическом (а) и тетраэдрическом (б) Cr<sup>n+</sup>-центрах.

дефекта и добавок от кристаллического окружения [5, 6, 8]. Поскольку спектр и зарядовое распределение могут оказаться чувствительными к выбору отношения радиусов МТ-сфер аниона и катиона  $\gamma = R_a/R_c$ , то для  $[\text{CrO}_6]^{9-}$ -кластера, моделирующего Cr<sup>3+</sup>-центр в ИАГ, были выполнены расчеты при  $\gamma_1 = 1.25$  и  $\gamma_2 = 1.40$  (см. рисунок, а). Цифры на кривых соответствуют электронным зарядам внутри МТ-сферы хрома  $Q$  при данных  $\gamma$  и  $R_{\text{Me}-\text{O}}$  — расстоянии хром—кислород. Из этого рисунка видно, что заряд МТ-сферы хрома слабо зависит от величины  $R_{\text{Me}-\text{O}}$  при фиксированном  $\gamma$  (в совершенном ИАГ  $R_{\text{Al}-\text{O}} = 1.94 \text{ \AA}$  в октаэдре и  $1.76 \text{ \AA}$  в тетраэдре [9]). Величина  $\Delta$  убывает с ростом  $R_{\text{Me}-\text{O}}$ . Зависимость  $\Delta(R_{\text{Cr}-\text{O}})$  для кластера  $[\text{CrO}_6]^{9-}$  при  $\gamma = \gamma_1$  близка к экспериментальной  $\Delta \sim R^{-5}$  [10]. При таком  $\gamma$  в сфере хрома реализуется эффективный заряд  $Q \approx +3$ . В соответствии с предположением о большей ковалентности в Cr-тетраэдре [4] для кластеров  $[\text{CrO}_4]^{x-}$  использовалось  $\gamma = \gamma_1$  (см. рисунок б). Тогда эффективный заряд МТ-сферы хрома радиуса  $R_{\text{Cr}} = 0.78 \text{ \AA}$  составляет  $+3.3$  при  $R_{\text{Cr}-\text{O}} = 1.76 \text{ \AA}$ . Такое сильное отличие от предполагаемого ионного заряда катиона  $Q = +4$  не является неожиданным с учетом большой ковалентности системы и малого ионного радиуса Cr<sup>4+</sup>:  $0.52 \text{ \AA}$  (Cr<sup>6+</sup>) <  $r(\text{Cr}^{4+}) < 0.64 \text{ \AA}$  (Cr<sup>3+</sup>) [11]. Из рисунка и таблицы видно, что лучшему согласию между расчетными и экспериментальными значениями  $\Delta$  как

в октаэдрическом, так и в тетраэдрическом центрах соответствуют  $R_{\text{Cr}-\text{O}}$ , большие равновесных  $R_{\text{Al}-\text{O}}$  в совершенном ИАГ на 0.04 Å. Такое поведение можно объяснить снова, учитывая соотношение эмпирических (октаэдрических и тетраэдрических) ионных радиусов  $r$  для  $\text{Al}^{3+}$ ,  $\text{Cr}^{3+}$ ,  $\text{Cr}^{4+}$ ,  $\text{O}^{2-}$ . Согласно [11], при октаэдрической координации  $r(\text{Al}^{3+})=0.57$  Å,  $r(\text{Cr}^{3+})=0.64$  Å,  $r(\text{O}^{2-})=1.36$  Å, т. е.  $r(\text{Al}^{3+})+r(\text{O}^{2-})=1.93$  Å и  $r(\text{Cr}^{3+})+r(\text{O}^{2-})=2.00$  Å. Следовательно, лучшее соответствие эксперименту должно наблюдаться при  $R_{\text{Cr}-\text{O}} > R_{\text{Al}-\text{O}}$  и, в частности, при  $R_{\text{Cr}-\text{O}}=1.98$  Å. Аналогичная ситуация в тетраэдре, поскольку  $r(\text{Cr}^{4+})+r(\text{O}^{2-}) > r(\text{Al}^{3+})+r(\text{O}^{2-})$ . Таким образом, расчеты воспроизводят эффект деформации решетки ИАГ в окрестности октаэдрического и тетраэдрического центров. Конкретные результаты расчетов центров (моделируемых соответствующими кластерами) и экспериментальные данные представлены в таблице.

Наилучшее согласие с экспериментом получается для кластера  $[\text{CrYCaO}_4]^{1+}$  симметрии  $C_{2v}$ , моделирующего тетраэдрический  $\text{Cr}^{4+}$ -центр в присутствии зарядового компенсатора  $\text{Ca}^{2+}$ , замещающего один из  $\text{Y}^{3+}$  в ближайшем окружении  $\text{Cr}^{4+}$ -тетраэдра. Расчет кластера  $[\text{CrYCaO}_4]^{1+}$  дает правильное положение его одноэлектронных состояний относительно зон совершенного ИАГ, тогда как в кластере  $[\text{CrY}_2\text{O}_4]^{2+}$ , не учитывающем зарядовую компенсацию, основное одноэлектронное состояние  $\text{Cr}^{4+}$ -центра оказывается ниже потолка валентной зоны ИАГ. В ВКП это означает возможность захвата электрона  $\text{Cr}^{4+}$ -центром, т. е. преобразование в  $\text{Cr}^{3+}$ -центр. Последний, по-видимому, нестабилен из-за большого ионного радиуса  $\text{Cr}^{3+}$  ( $r \sim 0.60$  Å в тетраэдре) и поэтому не наблюдается в экспериментах. Результаты моделирования такого гипотетического центра представлены в таблице.

Таким образом, ВКП-расчеты подтверждают наличие тетраэдрического  $\text{Cr}^{4+}$ -центра в ИАГ и воспроизводят его отличие от октаэдрических  $\text{Cr}^{n+}$ -центров. Из расчетов следует, что в обоих типах центров имеет место деформация решетки. Стабильным является  $\text{Cr}^{4+}$ -центр при наличии зарядового компенсатора ( $\text{Ca}^{2+}$ ) в ближайшем окружении  $\text{Cr}^{4+}$ -тетраэдра ИАГ.

#### Список литературы

- [1] Крутова Л. И., Лукин А. В., Сандуленко В. А., Сидорова Е. А., Солнцев В. М. // Опт. и спектр. 1987. Т. 63. № 5. С. 1174–1176.
- [2] Крутова Л. И., Кулагин Н. А., Сандуленко В. А., Сандуленко А. В. // ФТТ. 1989. Т. 31. № 7. С. 170–175.
- [3] Кулагин Н. А., Сандуленко В. А. // ФТТ. 1989. Т. 31. № 1. С. 243–249.
- [4] Крутова Л. И., Кулагин Н. А., Сандуленко В. А., Сандуленко А. В. // ФТТ. 1989. Т. 31. № 7. С. 170–175.
- [5] Соболев А. Б., Лобач В. А., Шульгин Б. В. // ФТТ. 1985. Т. 27. № 10. С. 3129–3133.
- [6] Кеда О. А., Лобач В. А., Кружалов А. В., Соболев А. Б., Шульгин Б. В. // Журн. прикл. спектр. 1988. Т. 48. № 4. С. 662–667.
- [7] Бальхаузен К. Введение в теорию поля лигандов. М., 1964.
- [8] Лобач В. А., Соболев А. Б., Шульгин Б. В. // Журн. структ. хим. 1986. Т. 27. № 6. С. 3–12.
- [9] Свиридов Д. Т., Свиридова Р. К., Смирнов Ю. Ф. Оптические спектры ионов переходных металлов в кристаллах. М., 1976.
- [10] Drickamer H. G. / J. Chem. Phys. 1967. V. 47. P. 1880–1887.
- [11] Лурье Ю. Ю. Справочник по аналитической химии. М., 1989.

Уральский политехнический институт  
им. С. М. Кирова  
Свердловск

Поступило в Редакцию  
12 января 1990 г.